

BALANÇOS DE CALOR E MASSA NA AVALIAÇÃO
DO DESEMPENHO OPERACIONAL DA CALDEIRA DE RECUPERAÇÃO

Medeiros, A.S. - CREA 52.135-D
Foelkel, C.E.B. - CREA 3.304-D
Riocell S.A.

1. Introdução

Nos dias atuais, torna-se prioritária a tarefa de "otimizar" procedimentos, etapas, equipamentos e demais atividades ligadas a qualquer ramo produtivo. Em função dos elevados gastos dispendidos na obtenção de um produto que satisfaça o binômio qualidade/economia com consequente colocação no mercado, as unidades geradoras modernas devem buscar, numa escala crescente, subsídios que lhes permitam atingir os objetivos previstos, na melhor performance operacional possível.

Especificamente, o setor celulósico-papeleiro participa de uma fatia significativa no volume global de exportações brasileiras, caracterizando assim, a aceitação obtida por nossos produtos no mercado externo. Com o intuito de contribuir efetivamente na elevação progressiva desta fatia, a Riocell S.A. através de seus departamentos ligados à pesquisa e ao desenvolvimento tecnológico, investe na análise e otimização de processos objetivando seqüencialmente aprimorar o controle sistemático realizado sobre as diferentes etapas que caracterizam a produção de derivados celulósicos.

Neste contexto, realizou-se um estudo de melhoria nas condições de avaliação do desempenho operacional relativo ao sistema que integra a caldeira de recuperação, por este constituir-se numa das principais etapas do ciclo de regeneração química dos reagentes utilizados no processo. Além disto, a caldeira de recuperação é capaz de gerar consideráveis quantidades de energia, sob forma de vapor, contribuindo substancialmente para o abastecimento energético às demais fases do sistema integrado.

O presente trabalho consta da apresentação de um modelo otimizado para a determinação de balanços de calor e massa, relativo à unidade instalada na Riocell S.A., visando implantar um sistema diário de controle por microcomputador. Este levantamento técnico representa o primeiro estágio da otimização, ora em execução no referido sistema, tendo em vista maximizar fatores como eficiência térmica e recuperação química, e minimizar índices de perdas e emissões de contaminantes ao ar.

2. Descrição sumária do equipamento

Sendo a combustão do licor preto concentrado, representada pela queima da fração orgânica e fusão dos compostos inorgânicos, a passagem mais importante do ciclo de recuperação em fábricas de celulose e papel, deve-se buscar sempre atingir a melhor queima possível tendo em vista a consolidação da viabilidade operacional do sistema.

A caldeira de recuperação representa, portanto, parte fundamental do processo. A função dessas unidades é a combustão das substâncias orgânicas extraídas da madeira pelo álcali, a utilização do calor residual gerado para a produção de vapor e, principalmente, a regeneração do álcali incorporado aos fundidos (smelt) e gases provenientes das reações de combustão na fornalha.

As unidades de recuperação modernas são grandes caldeiras aquotubulares, ou seja, geradores de vapor tipo "tubo de água" onde a água circula dentro dos tubos e os gases quentes oriundos da combustão fluem por fora, com todas as paredes e o fundo resfriados. O funcionamento baseia-se na diferença de densidades conseguida pelo gradiente de temperatura existente entre os conjuntos dos tubos geradores de vapor e os tubos economizadores (não vaporizantes).

A caldeira de recuperação em estudo é uma unidade fornecida pela Götaverken e o modelo é típico das caldeiras B & W, possuindo dois bicos queimadores pulverizando o licor preto com cerca de 60% sólidos nas paredes laterais da fornalha. A caldeira está em operação há aproximadamente 14 anos, sendo que na atualidade sua faixa usual de queima oscila entre 1100 e 1400 toneladas de sólidos secos por dia, produzindo cerca de 160 t/h de vapor superaquecido a 64 kgf/cm² de pressão e temperatura de 460°C. Tem sido indistintamente utilizada para queimar licor preto residual da fabricação de celuloses kraft e pré-hidrólise kraft (solúvel) obtidas a partir de madeira de eucalipto ou de eucalipto com pequena adição de madeira de acácia negra (cerca de 25%). O licor preto forte alimentado para a combustão possui poder calorífico superior médio da ordem de 3300 kcal/kg em base seca.

É uma caldeira de tiragem induzida, acoplada a dois evaporadores de contato direto tipo cascata e a dois precipitadores eletrostáticos, ambos em duas linhas paralelas.

O sistema de insulflameto de ar permite dividir o ar total em ar primário, ar primário alto, ar secundário, ar terciário e ar injetado junto ao óleo combustível. A caldeira possui 12 bicos de óleo combustível (oito de partida e quatro de carga), sendo a adição de óleo uma operação ocasional em algumas condições de trabalho, tendo em vista que em produções abaixo de um certo limite, o licor negro é insuficiente para mantê-la em queima continuada. Este sistema trabalha em paralelo com a caldeira de força à carvão, implantada no início de 1983, visando suprir o abastecimento energético integrado da fábrica, bem como possibilitar as operações de branqueamento e posterior secagem da polpa. Portanto, em termos gerais, os queimadores auxiliares à óleo combustível são utilizados para pré-aquecimento, controle e "starp up" do sistema.

A caldeira possui ainda sistema de recuperação das cinzas retidas pelos precipitadores eletrostáticos.

A massa de compostos inorgânicos fundidos (smelt) formados através das reações internas na fornalha, fluem através de três canaletas para um tanque dissolvedor. Neste, dá-se início ao processo de regeneração química da soda utilizada no sistema de digestão da polpa.

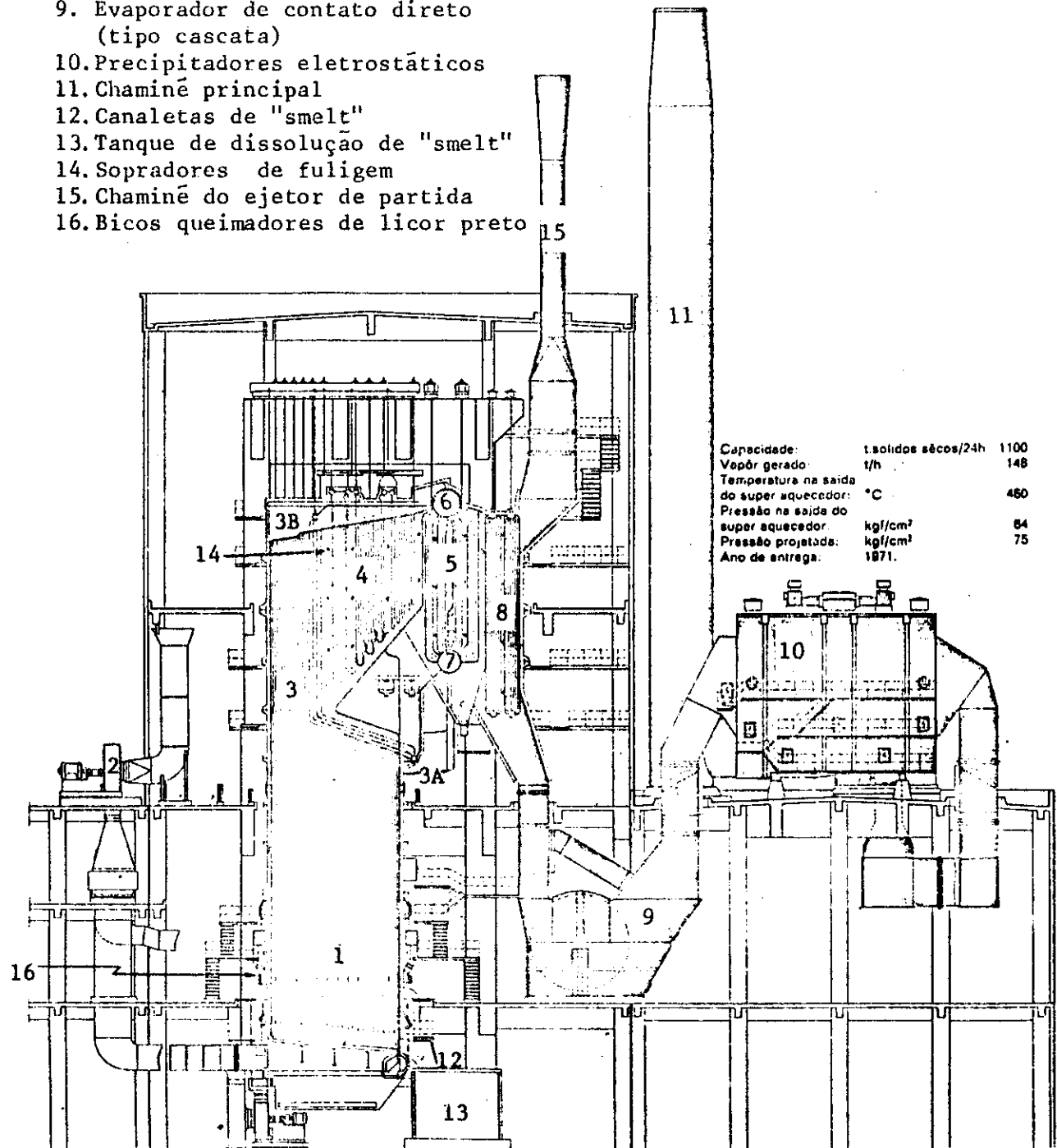
Em termos de abatimento e controle da poluição aérea, esta caldeira possui além de um sistema de precipitadores eletrostáticos de campos duplos, aparelhos tipo Barton, destinados à análise (titulação) do fluxo de gases mal-odorosos (compostos de enxofre reduzidos, TRS) expelidos pelo processo. Estes aparelhos encontram-se instalados em pontos de saída de gases do sistema, ou seja, nos economizadores, na chaminé principal e na chaminé do tanque de dissolução do smelt (imediatamente após o "scrubber"). Por meio deste contínuo monitoramento tem-se condições de ajustar

a carga do sistema em função de parâmetros que propiciem a minimização dos índices de emissões gasosas.

A caldeira de recuperação Riocell é composta genericamente pelos componentes principais, expressos através da Figura 1.

FIGURA 1

1. Fornalha
2. Ventiladores de alimentação para ar de combustão
3. Tubos de proteção (cortina), 3A-coletor inferior, 3B coletor superior
4. Superaquecedores
5. Bancada da caldeira (feixe tubular)
6. Balão de vapor
7. Balão de água
8. Economizadores
9. Evaporador de contato direto (tipo cascata)
10. Precipitadores eletrostáticos
11. Chaminé principal
12. Canaletas de "smelt"
13. Tanque de dissolução de "smelt"
14. Sopradores de fuligem
15. Chaminé do ejetor de partida
16. Bicos queimadores de licor preto



3. Desenvolvimento

Tendo em vista as crescentes necessidades de maximização das condições econômico-operacionais dos diferentes equipamentos ligados a sistemas produtivos em geral, as exigências de controle e otimização de etapas do processo têm sido ainda mais acentuadas durante os últimos anos.

A otimização de um sistema qualquer consiste, genericamente, na aplicação seqüencial de técnicas e/ou procedimentos diversos que possibilitem a obtenção de condições "ótimas" de operação e controle do referido sistema. Em suma, entende-se por "otimização" a busca da melhor forma de se chegar ao "ponto ótimo" de um determinado processo. Este conceito de ótimo conjuga uma medição quantitativa e uma análise matemática. A medição quantitativa é realizada em função de um número definido de variáveis selecionadas antes no contexto, que se inter-relacionam com as demais variáveis do processo. E, a análise matemática, consta da projeção, elaboração e análise dos resultados advindos do desenvolvimento de balanços de calor e massa sobre as equações que regem os fluxos principais do sistema.

O propósito deste estudo, que integra uma série, é o de aplicar o conceito de otimização, através da utilização de um modelo específico para o cálculo de balanços de calor e massa na caldeira de recuperação visando implantar um sistema contínuo de avaliação por microcomputador. Este modelo foi elaborado em função das condições de operação vigentes conjugadas à caracterização termodinâmica do equipamento, objetivando englobar os aspectos principais pertinentes ao sistema analisado. Para tanto, são utilizados os dados operacionais extraídos dos boletins diários do setor onde encontram-se registrados os valores necessários à análise e execução dos balanços. Através destas determinações procurar-se-á estabelecer, numa avaliação seqüencial, quais as variáveis interferentes sobre fatores como eficiência e perdas térmicas, índice de emissões, distribuição do ar de combustão, eficiência de redução, carga do sistema, etc., a fim de obter parâmetros "ótimos", a níveis operacionais, para o atingimento corrente da estabilidade funcional necessária à viabilidade técnica do processo.

Como primeira etapa do estudo ora em execução, prodeceu-se a elaboração de um relatório técnico descritivo do sistema que integra a caldeira de recuperação Riocell⁶, contendo a descrição pormenorizada do equipamento bem como apresentando passos seqüencialmente utilizados para o cálculo dos referidos balanços de calor e massa. Posteriormente à elaboração do programa operacional, fez-se um controle contínuo sobre a operação do equipamento, a título de avaliação preliminar, através da execução de um total de 30 balanços relativos ao período compreendido entre os meses de março e abril de 1985, situação em que o sistema começou a operar com cargas elevadas (acima de 1200 t sólidos secos/dia). Desta avaliação inicial surtiu a geração de uma tabela contendo a relação total de variáveis atuantes sobre os diversos fluxos que englobam o volume de controle pré-estabelecido. Estas variáveis, num total de 161, foram divididas em grupos onde indicou-se sua procedência, denominação, bem como os valores relativos ao dia e hora analisados. Entende-se como grupos, as sub-divisões de etapas ou condições similares do processo, tais como: licor preto forte nos cascatas e nos bicos; fluxos de gases de exaustão, ar de combustão, água de alimentação; os equipamentos principais e as entradas e saídas dos diferentes balanços. A relação completa englobando as 161 variáveis do sistema em análise, contendo ainda os valores de desvio padrão (DP), coeficiente de variação (CV), média e amplitudes totais inerentes aos valores máximos e mínimos obtidos com a avaliação preliminarmente executada, a título de ilustração, encontra-se expresso pelos Quadros I, II e III representados a seguir.

QUADRO I

	VAS	MEDIA	D.P.	C.V	MAX	MIN	AMP	TOT DC	L E G E N D A
1	48.412	10.059	11.136	119.9210	71.9080	48.0130	30	LICOR PRETO FORTE (CASC) FLUXO CASCATA SOLIDOS (t/h) (%)	
2	51.700	1.297	2.504	54.0000	48.7000	5.2000	30	TEMPERATURA PH LICOR OXIDADO (oC) (%)	
3	51.000	2.076	2.385	56.0000	50.0000	10.0000	30	PH LICOR OXIDADO (oC) VISCOSIDADE (CP)	
4	11.973	0.342	2.659	13.4000	11.8000	1.4000	30	FLUIDO BICOS SOLIDOS (kgf/cm ²)	
5	11.168	24.131	19.672	145.0000	90.0000	105.0000	30	LICOR PRETO FORTE (BICO) FLUIDO BICOS SOLIDOS (kgf/cm ²)	
6	64.051	8.512	10.034	100.0360	63.3990	36.4370	30	LICOR PRETO FORTE (BICO) FLUIDO BICOS SOLIDOS (kgf/cm ²)	
7	61.144	2.197	3.559	64.2800	55.0000	9.2800	30	FLUIDO SOLIDOS SECOS (kgf/cm ²)	
8	52.071	5.138	9.724	60.6560	39.5150	21.1410	30	TEMPERATURA PRESEAO (kgf/cm ²)	
9	11.735	0.666	0.567	118.5000	116.0000	2.5010	30	TEMPERATURA PRESEAO (kgf/cm ²)	
10	1.373	0.072	5.288	1.4100	1.2000	0.2100	30	PH LICOR BICOS (kgf/cm ²)	
11	11.477	0.198	1.651	11.4040	11.4040	0.0100	30	TEOR NA2S LICOR BIC. (Na2S/1) (kgf/cm ²)	
12	0.079	0.010	104.208	0.2700	0.0100	0.2600	30	REL. FLUXOS RICOS FRENTE /4 RICOS (kgf/cm ²)	
13	1.174	0.135	11.260	1.6410	0.9830	0.6600	30	ENOFRE NO LICOR PRETO (kgf/cm ²)	
14	10.284	1.401	140.884	13.711	125.6820	75.0750	30	LICOR PRETO FORTE (COMP) UMIDADE (kgf/cm ²)	
15	0.873	2.979	30.281	16.5000	2.8000	13.7000	30	TEOR CARBONO (kgf/cm ²)	
16	33.623	1.535	4.624	35.4000	30.1000	5.3000	30	TEOR HIDROGENO (kgf/cm ²)	
17	3.810	0.595	15.668	5.7000	3.2000	2.3000	30	TEOR ENOFRE (kgf/cm ²)	
18	1.978	0.153	8.048	2.2000	1.6000	0.6000	30	TEOR OXIGENIO LIVRE (kgf/cm ²)	
19	13.673	1.184	15.822	21.4000	9.8500	11.5500	30	DEFICIENCIA (kgf/cm ²)	
20	16.176	1.521	2.860	5.92000	51.1540	8.0500	30	INORGANICOS (kgf/cm ²)	
21	46.835	1.613	3.231	48.8500	40.8000	8.0000	30	FODER CALOR. SUP. (Mcal/t)	
22	325.667	86.609	2.636	3485.0000	3090.0000	2890.0000	30	POUER CALOR. INF. (Mcal/t)	
23	3101.857	79.061	2.549	3260.0000	2810.0000	14.2000	30	LICOR BRANCO SULFURIDADE (kgf/cm ²)	
24	16.840	1.353	8.035	19.0000	19.0000	9.3000	30	FUNDIDOS EFICIENCIA PENEIDAD (kgf/cm ²)	
25	92.710	1.764	2.049	55.9000	86.3000	9.6000	30	AMPLITUDE EFIC REDUCAO (kgf/cm ²)	
26	5.067	2.019	65.840	7.8000	0.4000	7.4000	30	BASES DE COMBUSTAO TECR OXIGENIO (kgf/cm ²)	
27	6.100	0.674	11.091	7.8000	5.0000	2.0000	30	TEM. GAS CLAFARICO (kgf/cm ²)	
28	12.000	0.765	5.002	14.0000	11.4000	2.6000	30	10000 NM3/h (kgf/cm ²)	
29	15.000	4.167	2.834	172.0000	153.0000	19.0000	30	UNICO GASES SECOS (10000 NM3/h) (kgf/cm ²)	
30	24.4360	19.018	8.214	292.7359	200.4800	92.2590	30	AGUA DE ALIMENTACAO FLUXO (kgf/cm ²)	
31	177.160	10.050	5.673	190.9540	151.5500	39.4000	30	BASES DE COMBUSTAO TEMPERATURA (kgf/cm ²)	
32	155.867	6.272	4.029	166.0000	144.0000	22.0000	30	PURGAS FLUXO (kgf/cm ²)	
33	2.412	0.723	29.984	3.8000	1.7000	2.1000	30	AR DE ENTRADA UMID. ABS. (t aquast ar seco) (kgf/cm ²)	
34	166.000	10.034	6.045	180.0000	140.0000	40.0000	30	VAPOR GERAL (64 ATA) FLUXO (kgf/cm ²)	
35	64.450	0.013	1.983	66.0000	62.0000	4.0000	30	EXCESSO DE AR PRESSAO BALAO (kgf/cm ²)	
36	61.000	0.870	1.351	63.0000	60.0000	5.0000	30	TEMPERATURA TENSATURA (kgf/cm ²)	
37	445.600	1.499	0.334	452.0000	445.0000	7.0000	30	VAPOR AUXILIAR FLUIDO AQUEC. AR (kgf/cm ²)	
38	11.545	0.512	4.267	12.2920	10.0400	2.2520	30	FLUXO TOTAL (kgf/cm ²)	
39	16.467	18.455	28.538	99.0000	30.0000	69.0000	30	PRESSAO (kgf/cm ²)	
40	3.013	0.014	29.188	0.0200	0.0060	0.0140	30	EXCESSO DE AR (kgf/cm ²)	
41	39.751	6.528	15.918	97.6500	30.4200	27.2300	30	AR PRIMARIO ALTO FLUXO INFERIOR (kgf/cm ²)	
42	13.257	1.705	9.770	22.0000	12.0000	10.0000	30	FLUXO SUPERIOR (kgf/cm ²)	
43	45.161	1.917	10.078	24.0000	15.0000	9.0000	30	FLUXO TOTAL (kgf/cm ²)	
44	37.783	3.590	9.503	48.0000	27.0000	18.0000	30	PRESSAO (kgf/cm ²)	
45	209.333	29.721	14.266	260.0000	120.0000	140.0000	30	10000 NM3/h (kgf/cm ²)	
46	91.760	6.639	7.240	160.0000	66.0000	34.0000	30	AR DE COMBUSTAO AR FIM. +SEC. (APS) (10000 NM3/h) (kgf/cm ²)	
47	10.140	1.014	21.470	120.0000	10.0000	80.0000	30	10000 NM3/h (kgf/cm ²)	
48	143.573	6.456	4.352	155.0000	115.0000	40.0000	30	AR SECUNDARIO FLUXO (kgf/cm ²)	
49	11.167	1.577	2.904	118.0000	98.0000	20.0000	30	PRELESAO (kgf/cm ²)	
50	189.600	19.722	10.491	220.0000	140.0000	80.0000	30	TEMPERATURA (kgf/cm ²)	
51	153.833	6.721	4.807	145.0000	105.0000	40.0000	30	AR DE COMBUSTAO AR FIM. +SEC. (APS) (10000 NM3/h) (kgf/cm ²)	
52	204.328	9.313	4.553	214.0000	164.0000	50.0000	30	10000 NM3/h (kgf/cm ²)	
53	130.440	9.404	12.376	100.0000	60.1.5000	40.4.7500	30	55.0000 NM3/h (kgf/cm ²)	
54	177.164	17.9167	10.128	2395.4500	147.4.2310	939.1579	30	55.0000 NM3/h (kgf/cm ²)	

QUADRO II

VAR	MEDIA	D.P.	C.V	MAX	MIN	A.MP TOT OC	L E G E N D A
1	2108.529	233.143	10.663	1905.6100	1155.5900	30	AR DE COMBUSTAO Km3 AR SEC./t SOLIDOS (Nm³/tass)
2	554.162	394.994	9.979	5494.0500	2059.8800	30	Nm3 ARS / t SOLIDOS (Nm³/tass)
3	44.437	2.052	4.561	49.0900	40.2400	9.6500	2. ARS REP. AR PRIM. TOTAL (%)
4	55.013	2.052	3.750	59.7600	50.1100	9.6500	2. ARS REPRES. AR SECUND. (%)
5	41.154	3.224	7.815	47.7800	36.1700	30	2. AR PRIM. REP. / AR PRIM ALTO (%)
6	1.159	0.076	6.112	1.4800	0.1140	30	REL. AR SEC. / AR PRIM. TOTAL (%)
7	12.616	0.428	7.420	15.4000	10.0000	30	TIRAGEM FORNALHA (mm H2O)
8	15.750	2.142	13.929	18.7400	10.3700	30	PLANTA DE OXIDACAO TEOR DE Nm3 LICOR (94±2%)
9	9.090	15.867	85.0000	45.0000	40.0000	30	VISC. LIGER ALM. PL.OXJD. (cP)
10	84.160	2.006	2.385	90.0000	80.0000	10.0000	EVAPORADORES CASCATA TEMP. ENTRADA LICOR (°C)
11	67.545	10.022	11.475	101.0300	74.0000	27.0000	TEMP. SAI DA LICOR (°C)
12	256.405	65.504	2.749	250.0000	225.0000	30	TEMP. FINIDA GASES (°C)
13	4.115	4.115	2.730	175.0000	155.0000	30	TEMP. SAI DA GASES (°C)
14	34.160	9.331	27.362	80.0000	25.0000	30	PRESSAO GASES (mm H2O)
15	55.414	0.101	1.500	34.0000	1.0000	29	obc ENTRADA LICOR
16	53.167	0.440	1.489	34.0000	33.0000	30	obc SAI DA LICOR
17	56.000	55.359	9.435	70.0000	45.0000	30	TANQUE DE MISTURA NIVEL DE LICOR (%)
18	1.391	0.011	0.854	1.3100	1.2600	30	DENSIDADE LICOR (%)
19	1.475	10.158	10.552	1.7640	1.1160	30	TEMP. SAI DA CINZAS (%)
20	50.000	14.400	4.030	370.0000	330.0000	30	SUPERADUETORES TEMP. SAI DA GASES (%)
21	418.140	7.313	1.744	435.0000	408.0000	27.0000	TEMP. SAI DA VAPOR PRIM. (°C)
22	367.157	7.705	2.128	380.0000	349.0000	30	TEMP. ENTRADA VAPOR SEC. (°C)
23	453.945	2.318	0.510	460.0000	450.0000	30	TEMP. SAI DA VAPOR SEC. (°C)
24	35.767	6.308	16.668	52.0000	24.0000	30	BANDA PRESSAO (mm Hg)
25	216.200	4.766	2.165	229.0000	210.0000	19.0000	ECONOMIZADORES TEMP. SAI DA AGUA (%)
26	235.540	6.501	2.749	250.0000	225.0000	20.0000	TEMP. SAI DA GASES (°C)
27	235.140	5.439	14.853	36.0000	16.0000	30	PRESSAO (mm H2O)
28	67.768	11.802	7.800	4.8000	3.0000	30	OXYGENIO (%)
29	45.515	3.681	1.290	1090.0000	260.0000	30	VENT. TIRAGEM INDUZIDA PRESSIONO V/FOR 64 ATA (kgf/cm²)
30	50.187	0.379	0.673	57.0000	56.0000	30	PRESSIONO DESCARGA (kgf/cm²)
31	17.007	0.170	6.794	2.9000	2.0000	30	PRESSIONO DESCHERD (kgf/cm²)
32	151.449	6.300	4.160	165.0000	139.0000	26.0000	PREC. ELETROSTATICO TEMP. SAI DA FUMERO (°C)
33	31.252	5.333	17.536	41.0000	20.0000	29	PREC. VAPOR 54.0000 (°C)
34	150.133	5.084	3.586	160.0000	135.0000	25.0000	TEMP. SAI DA DIREITO (°C)
35	32.167	7.423	23.005	60.0000	20.0000	30	PRESSIONO (kgf/cm²)
36	11.111	0.337	2.984	13.0000	10.5000	30	PREC. ELETROSTATICO VAPOR 54.0000 (°C)
37	6.214	3.634	56.434	13.5000	0.0000	30	PREC. ELETROSTATICO VAPOR 54.0000 (°C)
38	95.667	0.254	0.161	1.6.0000	1.0.0000	30	TANQUE DE DISSOLUCAO NIVEL (%)
39	1.	0.301	0.614	1.1.600	1.1.300	30	DENSIDADE (kgf/cm²)
40	20.187	6.554	4.781	33.0000	5.0000	28.0000	TIRAGEM VENTILACAO (mm H2O)
41	32.261	42.420	200.0000	120.0000	80.0000	EMISSOES AVICENDALADO (kgf/cm²)	
42	12.354	21.764	175.665	108.0000	0.0800	108.3200	EMISSOES TRS COMO H2S (ppm)
43	4.669	6.016	170.581	39.9000	0.0268	39.8812	EMISSOES TRS COMO H2S (ppm)
44	342.443	28.144	6.207	414.9050	287.1130	127.8820	BALANCO MASSA (ENTRADAS) AR SECO (t/h)
45	4.587	1.297	29.493	7.4510	2.1310	5.3200	VAPOR D'AGUA NO AR (t/h)
46	22.393	3.567	15.927	33.8490	15.4920	18.3570	OXYGENIO NOS GASES (t/h)
47	264.867	21.671	0.707	118.0000	221.0770	96.4170	MATERIAL NOS GASES (t/h)
48	2.101	0.391	15.714	2.5150	1.5020	SG2 NOS GASES (t/h)	
49	5.119	8.775	74.8970	51.0990	23.7940	CB2 NOS GASES (t/h)	
50	1.169	5.092	17.353	27.9980	12.7710	H2O NA COMBUSTAO (t/h)	
51	47.530	6.101	12.835	61.5010	35.5010	H2O NA COMBUSTAO (t/h)	
52	23.757	2.192	9.424	26.8410	17.5420	FUNDIDOS (t/h)	
53	2.616	0.254	9.718	3.0330	1.9780	SOLIDOS PERDIDOS (t/h)	
54	15.475	1.061	6.871	17.5800	13.4400	PERCENTUAIS ENTRADAS LICOR FRETO FORTE (%)	

QUADRO III

VAR	MEDIA	D.P.	C.V	MAX	MIN	AMP TOT DC	L E G E N D A
109	55.842	1.481	2.751	57.7160	50.5900	7.1200 30	PERCENTUAIS ENTRADAS AR SECO (2)
110	0.632	0.198	28.603	1.1000	0.3300	0.7700 30	AR UNIDO (2)
111	27.630	1.310	4.698	30.8400	25.1600	5.6800 30	AGUA DE ALIMENTACAO (2)
112	2.151	0.127	5.904	2.4300	1.9400	0.4900 30	VAPOR PRE-AQUECIMENTO (2)
113	26.054	1.266	4.857	28.8600	23.5300	5.3300 30	PERCENTUAIS SAIDAS VAPOR PRODUZIDO (2)
114	1.538	0.099	7.165	1.6300	1.2100	0.4200 30	VAPOR SISTEMAS (2)
115	66.567	1.736	2.014	69.5000	63.3700	6.1300 30	GASES DE SAIDA (2)
116	5.642	0.190	5.219	3.9300	3.1500	0.7800 30	FUNDIDOS (2)
117	2.202	0.153	6.914	2.5200	1.8900	0.6300 30	PURGAS + CONDENSADO (2)
118	0.409	0.022	5.366	0.4500	0.3600	0.0900 30	PERDAS (2)
119	0.747	0.016	0.778	0.7610	0.7370	0.0240 30	CALOR ESPEC. LICOR (Mcal/h) /CET (2)
120	172067.153	15318.271	8.902	198041.9000	137789.8000	60332.1100 30	HE COMBUSTIVEL (Mcal/h)
121	4741.044	725.812	16.598	7470.6870	3345.9700	4104.7650 30	HE LICOR (Mcal/h)
122	428.860	35.179	8.206	518.7441	358.8910	159.8531 30	HE AR SECO (Mcal/h)
123	5.678	2.805	28.990	16.7650	4.7950	11.9700 30	HE VAPOR D'AGUA NO AR (Mcal/h)
124	26445.294	2037.491	7.705	30356.5300	21838.3600	8618.1700 30	HE AGUA ALIMENTACAO (Mcal/h)
125	7521.378	345.497	4.567	7940.6320	6484.3500	1454.7920 30	HE VAPOR PRE-AQUEC.AR (Mcal/h)
126	691.164	205.846	29.955	1082.6200	484.3200	598.2701 30	HS FUGAS (Mcal/h)
127	1152.465	52.641	4.567	1216.9080	923.9600	222.9479 30	HS CONDENSADO (Mcal/h)
128	12248.800	7706.418	6.345	134120.0000	107520.0000	30720.0000 30	HS FUNDIDOS (Mcal/h)
129	7521.354	117.441	16.058	1066.5820	493.4980	5273.0841 30	HS OXIGENIO GASES (Mcal/h)
130	9535.849	910.955	9.505	11167.3400	7594.7220	3568.6180 30	HS NITROGENIO GASES (Mcal/h)
131	46.227	7.293	15.122	63.0260	33.4570	29.5690 30	HS SO2 GASES (Mcal/h)
132	2134.962	224.342	10.508	2557.2090	1563.1180	994.6909 30	HS CO2 GASES (Mcal/h)
133	30941.962	4029.417	13.039	4028.0400	21671.9500	18586.0900 30	HS AGUA NO LICOR (Mcal/h)
134	11511.305	2019.774	17.395	18218.5000	83035.6200	9902.8900 30	HS AGUA COMBUSTAO (Mcal/h)
135	12811.478	18.055	6.317	5726.0600	5651.1080	74.8120 30	HS AGUA SUPRADORES (Mcal/h)
136	2701.716	84.417	29.963	4779.4720	1341.2570	345.2190 30	HS VAPOR D'AGUA NO AR (Mcal/h)
137	6291.961	846.862	9.431	10360.6300	6771.2120	3589.4180 30	HS FUNDIDOS (Mcal/h)
138	63.143	1.071	1.288	85.5600	80.0600	5.5000 30	HS CO2 FORTES (Mcal/h)
139	12.477	0.865	6.930	14.6200	10.3800	4.4200 30	AGUA DE ALIMENTACAO (Mcal/h)
140	0.208	0.015	7.474	0.2400	0.1600	0.0600 30	AR DE COMBUSTAO (Mcal/h)
141	4.167	0.316	7.589	5.0900	3.7900	1.3600 30	VAPOR PRE-AQUECIMENTO (Mcal/h)
142	64.013	2.006	3.134	67.7200	60.7900	7.3300 30	PERCENTUAIS SAIDAS VAPOR PRODUZIDO (Mcal/h)
143	30.562	1.830	5.987	34.0800	27.9900	6.6600 30	GASES SECOS (Mcal/h)
144	4.501	0.236	5.245	4.9900	3.9000	1.0100 30	FUNDIDOS (Mcal/h)
145	0.925	0.105	11.384	1.1500	0.7800	0.3700 30	PURGAS + CONDENSADO (Mcal/h)
146	2.091	3.120	51.218	12.2900	12.0400	12.0400 30	PERDAS TÉRMICAS GASES SECOS (Mcal/h)
147	13218.162	71996.864	54.439	25023.4700	492.2750	2453.2400 30	TOTALS (HE - HS) (Mcal/h)
148	641.163	3.508	5.647	66.6900	54.3000	12.3700 30	INDICES DE EFICIENCIA TÉRMICA (2)
149	3.191	0.249	7.807	3.7960	2.8100	0.9920 30	t. VAPOR PROD./t SOLIDOS SECOS (2)
150	0.755	0.085	8.984	1.0890	0.7390	0.2500 30	t. VAPOR PROD./mcal ALIM. (2)
151	0.5377	0.605	0.578	0.9450	0.9740	0.0210 30	t. VAPOR PROD./t ÁREA ALIM. (2)
152	5.685	0.383	6.512	6.3500	5.1500	1.4000 30	PERDAS TÉRMICAS GASES SECOS (2)
153	0.133	0.040	29.950	0.2300	0.0610	0.1670 30	VAPOR D'AGUA NO AR (2)
154	14.506	1.114	7.680	17.6700	12.5500	5.1200 30	AGUA NO LICOR (2)
155	5.485	0.492	15.414	8.0500	4.4700	3.5600 30	AGUA NA COMBUSTAO (2)
156	4.223	0.159	4.013	4.8100	3.7900	0.8200 30	FUNDIDOS (2)
157	0.174	0.093	28.612	0.5200	0.2700	0.2700 30	PURGAS (2)
158	0.114	0.042	7.069	0.5100	0.4490	0.1800 30	CONDENSADO (2)
159	2.394	0.225	6.352	2.3500	0.9300	0.9300 30	SCRECHADORES (2)
160	0.264	0.010	2.917	0.2900	0.2600	0.0300 30	RANTACAO NAO DUEIM. REJEITO (2)
161	0.071	0.001	3.940	0.0190	0.0040	0.0040 30	CRISTALIZADORES (2)

3.1. Equações principais do programa operacional para o cálculo de balanços de calor e massa na caldeira de recuperação Riocell

Utilizando-se linguagem de programação BASIC, elaborou-se o programa operacional adaptado aos microcomputadores compatíveis à linha IBM-PC, que executa e imprime os resultados inerentes aos balanços de calor e massa do sistema, num tempo total de 10 minutos, desde a informação dos dados de entrada, via telefônica, pela operação, passando pela digitação dos mesmos até a impressão da listagem final contendo os valores requeridos. Atualmente, procede-se ao acompanhamento e execução diária de três balanços no setor, distribuídos arbitrariamente um em cada turno. Com isso consegue-se manter um controle e avaliação sistemática das condições termodinâmicas e operacionais vigentes no equipamento.

Conforme mencionou-se anteriormente, no desenvolvimento normal da otimização empreendida ao sistema através da aplicação de balanços de calor e massa, tem-se um total de 161 variáveis integrantes onde 97 destas representam fatores de entrada(extraídos dos boletins de área) e as restantes constituem-se nas incógnitas a serem calculadas no processo.

Visando minimizar etapas e tempo de processamento, reduziu-se para 18 o número de variáveis necessárias à inicialização do programa. Esta relação encontra-se representada através do Quadro IV, expresso a seguir.

QUADRO IV - Boletim para entrada de dados no sistema CR, contendo as 18 variáveis necessárias à execução dos balanços de calor e massa

RIOCELL	ENTRADA DE DADOS DA CALDEIRA DE RECUPERAÇÃO	DATA:	HORA:
	ITENS	UNIDADE	VALOR
BALANÇO DE MASSA	2. SÓLIDOS CASCATA	t/h	
	6. FLUXO LICOR BICOS	t/h	
	7. SÓLIDOS BICOS	%	
	27. O ₂ GASES	%	
	28. CO ₂ GASES	%	
	33. FLUXO PURGAS	t/h	
	34. FLUXO VAPOR PRODUZIDO	t/h	
	38. VAPOR PRÉ-AQUECIMENTO AR	t/h	
	40. UMIDADE ABSOLUTA	tágua/t ar seco	
	44. FLUXO AR PRIMÁRIO ALTO	1000Nm ³ /h	
	46. FLUXO AR PRIMÁRIO TOTAL	1000Nm ³ /h	
	49. FLUXO AR SECUNDÁRIO	1000Nm ³ /h	
	73. VAZÃO CINZAS TANQUE MISTURA	t/h	
	96. EMISSÕES TRS CHAMINÉ	ppm	
	162. EMISSÕES TRS NO ECONOMIZADOR	ppm	
BALANÇO DE ENERGIA	3. TEMPERATURA LICOR CASCATA	°C	
	29. TEMPERATURA GASES SAÍDA	°C	
	32. TEMPERATURA ÁGUA ALIMENTAÇÃO	°C	

Para a formulação do programa operacional promoveu-se a caracterização de cada variável atuante a fim de facilitar a definição das equações resultantes do processo. A notação adotada para caracterizar as 161 variáveis participantes é aquela que utilizada fatores "alfanuméricos", tipo A1, R7, Z3 ..., sendo a mesma descrita através do Quadro V, a seguir.

QUADRO V - Descrição das 161 variáveis integrantes do sistema CR com suas respectivas caracterizações

VARIÁVEL	CARÁTER *	UNIDADE
	ALFANUMÉRICO	
1. Fluxo de licor na entrada cascata	F1	t/h
2. Teor de sólidos na entrada cascata	S1	%
3. Temperatura do licor entrada cascata	T1	°C
4. pH do licor oxidado	-	-
5. Viscosidade do licor na entrada cascata	-	cP
6. Fluxo de licor nos bicos	B1	t/h
7. Teor de sólidos do licor nos bicos	B2	%
8. Fluxo de sólidos secos nos bicos	M1	t/h
9. Temperatura do licor nos bicos	-	°C
10. Pressão do vapor nos bicos	-	kgf/cm ²
11. pH do licor preto nos bicos	-	-
12. Teor de Na ₂ S do licor nos bicos	-	gNa ₂ S/l
13. Relação fluxos bicos frente/atrás	-	-
14. Teor de enxofre no licor dos bicos	-	kg/h
15. Umidade da amostra de licor forte	-	%
16. Teor de carbono no licor forte	C	%
17. Teor de hidrogênio no licor forte	H	%
18. Teor de enxofre no licor forte	E	%
19. Teor de oxigênio livre no licor	O	%
20. Quantidade de matéria orgânica licor	-	%
21. Quantidade de matéria inorgânica licor	I	%
22. Poder calorífico superior	P1	Mcal/t
23. Poder calorífico inferior	-	Mcal/t
24. Sulfidide do licor branco	-	%
25. Eficiência de redução do smelt	-	%
26. Amplitude da eficiência redução smelt	-	%
27. Teor de O ₂ nos gases combustão	O1	%
28. Teor de CO ₂ nos gases combustão	C2	%
29. Temperatura dos gases combustão	T5	°C
30. Vazão de gases secos	G1	1000 Nm ³ /h
31. Fluxo da água de alimentação	A	t/h
32. Temperatura da água de alimentação	T2	°C
33. Fluxo de purgas	P2	t/h
34. Fluxo de vapor geral (64 ATA)	V1	t/h
35. Pressão de vapor no balão	-	kgf/cm ²
36. Pressão de vapor de saída	-	kgf/cm ²
37. Temperatura do vapor geral	-	°C
38. Vapor de pré-aquecimento do ar	V2	t/h
39. Umidade relativa do ar	-	%
40. Umidade absoluta do ar	U1	t água/t ar seco
41. Excesso de ar	E1	%
42. Fluxo inf. ar primário alto	-	1000 Nm ³ /h
43. Fluxo sup. ar primário alto	-	1000 Nm ³ /h
44. Fluxo ar primário alto total	Y2	1000 Nm ³ /h

45. Pressão ar primário alto	-	mm H ₂ O
46. Fluxo ar primário total	Y1	1000 Nm ³ /h
47. Pressão ar primário total	-	mm H ₂ O
48. Temperatura ar primário total	-	°C
49. Fluxo ar secundário	Y3	1000 Nm ³ /h
50. Pressão ar secundário	-	mm H ₂ O
51. Temperatura ar secundário	-	°C
52. Ar primário + secund. (APS)	Y4	1000 Nm ³ /h
53. Relação Nm ³ ar prim. alto/t sol. secos	A2	Nm ³ /t ss
54. Relação Nm ³ ar prim. total/t sol. secos	A1	Nm ³ /t ss
55. Relação Nm ³ ar secundário/t sol. secos	A3	Nm ³ /t ss
56. Relação Nm ³ APS/t sol. secos	A4	Nm ³ /t ss
57. % APS representativo ar prim. total	-	%
58. % APS representativo ar secundário	-	%
59. % Ar prim. represent. ar primário alto	-	%
60. Relação ar secund./ar primário total	R1	-
61. Tiragem da fornalha	-	mm H ₂ O
62. Teor de Na ₂ S do licor na oxidação	-	gNa ₂ S/l
63. Viscosidade licor alim. oxidação	-	cP
64. Temperatura licor entrada cascata	T1	°C
65. Temperatura licor saída cascata	-	°C
66. Temperatura entrada gases cascata	-	°C
67. Temperatura saída gases cascatas	-	°C
68. Pressão dos gases nos cascatas	-	mm H ₂ O
69. °Be entrada licor nos cascatas	-	-
70. °Be saída licor nos cascatas	-	-
71. Nível de licor no tanque de mistura	-	%
72. Densidade do licor no tanque mistura	-	kg/l
73. Vazão de cinzas no tanque mistura	Z5	t/h
74. Temperatura de saída gases superaquec.	-	°C
75. Temperatura saída vapor prim.superaquec.	-	°C
76. Temperatura entrada vapor secund. superaquec.	-	°C
77. Temperatura saída vapor secund. superaquec.	-	°C
78. Pressão na bancada	-	mm Hg
79. Temperatura saída água economizadores	-	°C
80. Temperatura saída gases economizadores	-	°C
81. Pressão nos economizadores	-	mm H ₂ O
82. Teor de O ₂ nos economizadores	-	%
83. Rotação do ventilador tiragem induzida	-	rpm
84. Pressão vapor 64 ATA vent. tiragem induz.	-	kgf/cm ²
85. Pressão descarga vent. tiragem induz.	-	kgf/cm ²
86. Tem. saída prec. eletrostático esquerdo	-	°C
87. Pressão prec. eletrostático esquerdo	-	mm H ₂ O
88. Temp. saída precip. eletrostático direito	-	°C
89. Pressão prec. eletrostático direito	-	mm H ₂ O
90. pH cinzas precipitador	-	-
91. Teor Na ₂ CO ₃ cinzas precipitador	-	%
92. Nível do tanque de dissolução smelt	-	%
93. Densidade do licor no tanque	-	kg/l
94. Tiragem do ventilador no tanque dissol.	-	mm H ₂ O
95. Enxofre adicionado tanque dissolução	-	kg/h
96. Emissões de TRS expressa como H ₂ S	E2	ppm
97. Emissões de TRS expressa como H ₂ S	K1	kg/h
98. Fluxo de ar seco	A5	t/h
99. Fluxo de vapor d'água no ar	A6	t/h
100. Fluxo O ₂ nos gases saída	O2	t/h
101. Fluxo N ₂ nos gases saída	N1	t/h

102. Fluxo SO ₂ nos gases saída	S3	t/h
103. Fluxo CO ₂ nos gases saída	C3	t/h
104. Fluxo de água na combustão	W1	t/h
105. Fluxo de água no licor	W2	t/h
106. Fluxo de fundidos	F2	t/h
107. Fluxo de sólidos perdidos	S4	t/h
108. Teor de licor preto forte na entrada sistema	-	%
109. Teor de ar seco na entrada sis- tema	-	%
110. Teor de ar úmido na entrada	-	%
111. Teor de água de alimentação entrada	-	%
112. Teor de vapor pré-aquec.	-	%
113. Teor de vapor produzido na saída	-	%
114. Teor de vapor para sopradores	-	%
115. Teor de gases de saída no sistema	-	%
116. Teor de fundidos no sistema	-	%
117. Teor de purgas + condensado	-	%
118. Teor de perdas relativas às saídas	-	%
119. Calor específico do licor forte	C4	Mcal/t°C
120. Entalpia de entrada do combustível	Q1	Mcal/h
121. Entalpia de entrada do licor	L1	Mcal/h
122. Entalpia de entrada do ar seco	A7	Mcal/h
123. Entalpia de entrada vapor d'água ar	U2	Mcal/h
124. Entalpia de entrada água alimentação	A8	Mcal/h
125. Entalpia entrada vapor pré-aquec. ar	V4	Mcal/h
126. Entalpia de saída das purgas	P3	Mcal/h
127. Entalpia de saída do condensado	C5	Mcal/h
128. Entalpia de saída do vapor produzido	V6	Mcal/h
129. Entalpia de saída O ₂ nos gases	O3	Mcal/h
130. Entalpia de saída N ₂ nos gases	N2	Mcal/h
131. Entalpia de saída SO ₂ nos gases	S5	Mcal/h
132. Entalpia de saída CO ₂ nos gases	C6	Mcal/h
133. Entalpia de saída H ₂ O no licor	W4	Mcal/h
134. Entalpia de saída H ₂ O na combustão	W5	Mcal/h
135. Entalpia de saída H ₂ O nos sopradores	W6	Mcal/h
136. Entalpia de saída vapor d'água ar	W7	Mcal/h
137. Entalpia de saída dos fundidos	F3	Mcal/h
138. Teor de licor preto na entrada	-	%
139. Teor de água de alimentação	-	%
140. Teor de ar de combustão na entrada	-	%
141. Teor de vapor pré-aquecimento	-	%
142. Teor de vapor produzido na saída	-	%
143. Teor de gases de saída	-	%
144. Teor de fundidos	-	%
145. Teor de purgas + condensado	-	%
146. Perdas em relação ao calor entrada	P4	%
147. Perdas totais (HE - HS)	-	Mcal/h
148. Eficiência térmica	E8	%
149. Ton vapor produzido/ton sólidos secos	R2	-
150. kg vapor produzido/Mcal alimentada	-	-
151. Ton vapor produzido/ton água alimentada	R3	-
152. Teor de perdas nos gases secos	-	%
153. Teor de perdas c/vapor d'água no ar	-	%
154. Teor de perdas c/água no licor	-	%
155. Teor de perdas c/água na combustão	-	%
156. Teor de perdas nos fundidos	-	%
157. Teor de perdas nas purgas	-	%

158. Teor de perdas no condensado	-	%
159. Teor de perdas nos sopradores	-	%
160. Teor de perdas devido à radiação	-	%
161. Teor de perdas c/carbono não queimado no rejeito	-	%

* As variáveis que não apresentam caracterização indicam que a despeito de sua importância na análise global do sistema, não se fazem necessárias para o cálculo dos balanços de massa e energia do processo.

Para a aplicação seqüencial de técnicas de otimização no sistema que engloba a caldeira de recuperação Riocell foram gerados uma série de programas referenciados pela caracterização BCR 00x. Neste contexto tem-se ainda o programa principal que serve de suporte para as demais ramificações e que se chama BCRSYS. A denominação relativa aos programas a serem utilizados para a individualização deste estudo de otimização encontra-se representada através do programa BCR999, demonstrado a seguir.

```

10 '
20 '
30 '
40 '
50 CLS
60 KEY OFF
70 '
80 PRINT "BCR999.bas";TAB(25) "Biblioteca de programas Caldeira Recuperacao"
90 PRINT STRING$(80,205)
100 PRINT
110 '
120 PRINT "BCRSys - Programa principal"
130 PRINT
140 PRINT "BCR001 - Entrada de dados (compilado)"
150 PRINT "BCR002 - Listagem da matriz"
160 PRINT "BCR003 - Entrada legendas"
170 PRINT "BCR004 - Descrição teclado"
180 PRINT "BCR005 - Média, DP, CV"
190 PRINT "BCR006 - Correlações Lineares"
200 PRINT "BCR007 - Correlações Multiplas"
210 PRINT "BCR008 - Cálculo Balanços"
220 PRINT "BCR009 - Superfícies de Resposta"
230 PRINT "BCR999 - Biblioteca de Programas"
240 PRINT
250 END

```

Conforme indicado na listagem acima, o programa responsável pelo cálculo e impressão dos balanços no sistema é caracterizado por BCR008. Neste, encontram-se afixados e definidos todos os passos necessários à realização de uma avaliação do desempenho operacional da unidade via balanceamento térmico-material. As variáveis utilizadas obedecem às caracterizações descritas através do Quadro V.

O programa BCR008 foi elaborado no sentido de acoplar duas listagens distintas, possibilitando o acompanhamento seqüencial dos diversos fatores incidentes sobre termos de eficiência térmica e perdas localizadas. Por conseguinte, desenvolveu-se um modelo específico para a unidade implantada na Riocell, tomando-se como base estudos efetuados pelo IPT³, cujas equações principais encontram-se representadas a seguir.

3.1.1. Balanço de massa

3.1.1.1. Entradas

a) Fluxo de licor na entrada dos cascatas (F1)

$$F1 = F5 / (S1 / 100)$$

b) Fluxo de sólidos secos nos bicos (M1)

$$M1 = B1 * B2 / 100$$

c) Excesso de ar (E1)

$$E1 = |(3,76 * 01 / 100) / (1 - S2 - (C2 / 100)) - (4,76 * 01 / 100)| * 100$$

d) Fluxo de ar seco (A5)

$$A5 = 4,35 * (1 + E1 / 100) * (M1 * (2,67 * C / 100) + (8 * H / 100) + (E / 100) - (0 / 100))$$

e) Fluxo de vapor d'água no ar (A6)

$$A6 = U1 * A5$$

f) Fluxo de água de alimentação (A)

$$A = W3 + V1 + P2$$

g) Somatório das entradas no sistema (Z1)

$$Z1 = F1 + A5 + A6 + A + V3 + V2$$

3.1.1.2. Saídas

a) Fluxo de O₂ nos gases de exaustão (O2)

$$O2 = 0,23 * A5 * E1 / 100 / (1 + E1 / 100)$$

b) Fluxo de N₂ nos gases de exaustão (N1)

$$N1 = 0,77 * A5$$

c) Fluxo de SO₂ nos gases de exaustão (S3)

$$S3 = 2 * ((E / 100) * M1)$$

d) Fluxo de CO₂ nos gases de exaustão (C3)

$$C3 = 3,67 * (M1 * C / 100)$$

e) Vazão dos gases secos na chaminé (G1)

$$G1 = O2 + N1 + S3 + C3 * 0,732 * 0,932$$

f) Emissões de TRS como H₂S na chaminé (K1)

$$K1 = G1 * D1$$

g) Fluxo de água na combustão (W1)

$$W1 = 9 * (M1 * H / 100)$$

h) Fluxo de água no licor (W2)

$$W2 = F1 * (1 - S1 / 100)$$

i) Fluxo de fundidos (F2)

$$F2 = (M1 * I / 100) * 0,95$$

j) Somatório das saídas do sistema (Z2)

$$Z2 = (O2 + N1 + S3 + C3 + W1 + A6 + W2 + W3 + P2 + F2 + C1 + V1 + S4)$$

3.1.2. Balanço de calor

3.1.2.1. Calores de entrada

a) Entalpia do combustível (Q1)

$$Q1 = M1 * P1$$

b) Calor específico do licor preto forte (C4)

$$C4 = 0,98 - (S1 / 100) * 0,45$$

c) Entalpia do licor preto nos cascatas (L1)

$$L1 = F1 * C4 * (T1 - 20)$$

d) Entalpia de ar seco (A7)

$$A7 = A5 * 1,25$$

e) Entalpia do vapor d'água no ar (U2)

$$U2 = A6 * 2,25$$

f) Entalpia da água de alimentação (A8)
 $A8 = A * 1,1\theta * (T2 - 2\theta)$

g) Somatório das entalpias de entrada no sistema (Z3)
 $Z3 = Q1 + L1 + A7 + U2 + A8 + V4 + V5$

3.1.2.2. Calores de saída

a) Entalpia das purgas (P3)
 $P3 = P2 * 284,9\theta$

b) Entalpia do condensado (C5)
 $C5 = C1 * 99$

c) Entalpia do vapor produzido (V6)
 $V6 = V1 * 768$

d) Entalpia do O₂ nos gases exaustão (O3)
 $O3 = O2 * 0,23 * (T5 - 2\theta)$

e) Entalpia do N₂ nos gases exaustão (N2)
 $N2 = N1 * \theta,255 * (T5 - 2\theta)$

f) Entalpia do SO₂ nos gases exaustão (S5)
 $S5 = S3 * \theta,165 * (T5 - 2\theta)$

g) Entalpia do CO₂ nos gases exaustão (C6)
 $C6 = C3 * \theta,23 * (T5 - 2\theta)$

h) Entalpia da água no licor (W4)
 $W4 = W2 * (\theta,45 * (T5 - 2\theta) + 586)$

i) Entalpia da água na combustão (W5)
 $W5 = W1 * (\theta,45 * (T5 - 2\theta) + 586)$

j) Entalpia da água nos sopradores (W6)
 $W6 = W3 * (\theta,45 * (T5 - 2\theta) + 586)$

k) Entalpia do vapor d'água no ar (W7)
 $W7 = A6 * \theta,45 * (T5 - 2\theta)$

l) Entalpia dos fundidos (F3)
 $F3 = F2 * 386$

m) Somatório das entalpias de saída no sistema (Z4)
 $Z4 = (P3 + C5 + V6 + O3 + N2 + S5 + C6 + W4 + W5 + W6 + W7 + F3)$

n) Perda térmica global (P4)
 $P4 = ((Z3 - Z4)/Z3) * 100$

o) Eficiência térmica global (E8)
 $E8 = (V6/Z3) * 100$

p) Relação ton vapor produzido/ton sólidos secos alimentados (R2)
 $R2 = V1/M1$

Estas equações sintetizam os principais fatores a serem analisados objetivando-se avaliar as condições operacionais do equipamento através da aplicação de balanços de calor e massa sobre os diversos fluxos de entradas e saídas presentes no volume de controle pre-definido.

Com o intuito de apresentar o diagnóstico das condições vigentes no sistema que integra a caldeira de recuperação Riocell, através do resultado médio de 30 balanços de calor e massa realizados no período compreendido entre os meses de março e abril de 1985, reproduzir-se-á a listagem representativa da execução em microcomputador dos referidos balanços. Em suma, esta listagem objetiva sintetizar os principais aspectos a serem analisados ao se avaliar o desempenho operacional da caldeira, via balanço térmico-material.

QUADRO VI

RIOCELL - BALANÇO DE MASSA
Data proc.: 01-08-1986

CALDEIRA DE RECUPERAÇÃO
Data ref.: 15-04-1985

PAG.: 1
Hora: 15

Var	L P g e n d a	Valor	Var	L o g e n d a	Valor
-----	---------------	-------	-----	---------------	-------

DADOS DE ENTRADA			SOMATÓRIOS DE ENTRADAS		
1	FLUXO DE LÍCORA CASCATAS	(t/h)	98.2527		
2	SOLIDOS CASCATAS	(kg)	51.8000		
6	FLUXO SOLIDOS SECOS	(t/h)	52.3949		
7	SOLIDOS BICOS	(kg)	84.8500		
16	TEOR CARBONO	(%)	61.7500	1	FLUXO DE LÍCORA SISTEMA
17	TEOR HIDROGENIO	(%)	33.6200	98	AR SECO
18	TEOR ENXOFRE	(%)	3.8000	99	VAPOR D'ÁGUA NO AR
19	TEOR OXIGENIO LIVRE	(%)	1.9600	31	FLUXO ÁGUA ALIM.
21	INDORGÂNICOS	(%)	13.7900	38	VAPOR PRE-AQUEC. AR
40	URID. ABS. (t agua/t ar seco)		46.8300	Fixa	VAPOR PRE-AQUEC. LÍCORA
38	VAPOR PRE-AQUEC. AR	(t/h)	0.6130		
34	FLUXO VAPOR PROD.	(t/h)	11.6500		
31	FLUXO ÁGUA ALIM.	(t/h)	166.0000		
38	FLUXO CONDENSAÇÃO	(t/h)	185.4200		
33	FLUXO PURGAS	(t/h)	11.6500		
27	TEOR O2 GASES	(%)	2.4200		
28	TEOR CO2 GASES	(%)	6.1000		
Fixo	TEOR DE SO2 GASES	(%)	12.9000		
73	VARIAO CINZAS TQ. MIST.	(t/h)	0.0040		
41	EXCESSO DE AR	(%)	1.5000		
46	FLUXO AR PRIM. TOT. (1000 Nm ³ /h)		39.7752		
44	FLUXO AR PRIM. ALTO (1000 Nm ³ /h)		92.0000	100	OXYGENIO NOS GASES
49	FLUXO AR SECUND. (1000 Nm ³ /h)		38.0000	101	NITROGENIO NOS GASES
52	AR PRIM. +SEC. (AFS) (1000 Nm ³ /h)		113.0000	102	SO2 NOS GASES
54	Nm3 AR PRIM. TOT/t SS. (Nm3/tass)		205.0000	103	CO2 NOS GASES
53	Nm3 AR PRIM. ALTO/t SS (Nm3/tss)		1755.8970	104	H2O NA COMBUSTAO
55	Nm3 AR SEC. /t SOL. (Nm3/tss)		725.2618	99	VAPOR D'ÁGUA NO AR
56	Nm3 APS / t SOLIDOS (Nm3/tss)		2156.6995	105	H2O NO LÍCORA
60	REL. AR SEC. / AR PRIM. TOTAL		3912.5965	Fixa	AQUA NOS SOPRADORES
96	EMISSOES TRS COMO H2S (ppm)		1.2283	33	FLUXO PURGAS
162	EMISSOES TRS NO ECONOM. (ppm)		12.3000	106	FUNDIDOS
97	EMISSOES TRS COMO H2S (kg/h)		0.0500	38	FLUXO AQUEC. AR
30	VARIAO GASES SECOS (1000 Nm ³ /h)		4.5209	34	FLUXO VAPOR FROD.
			242.2153	107	SOLIDOS PERDIDOS
					2.6197
TOTAIS					
SOMATÓRIO ENTRADAS			(t/h)	646.9361	
SOMATÓRIO SAÍDAS			(t/h)	647.8007	
ERRO			(%)	0.13%	

QUADRO VII

RIGCELL - BALANCO DE CALOR
Data Proc.: 01-08-1985
Data ref.: 15-04-1985

CALDEIRA DE RECUPERACAO

PAG.: 2

Hor a: 15

Var

Legend a

Var

Legend a

DADOS DE ENTRADA

3	TEMP. LÍQUID. CASAÇA	(°C)	84.0000
22	PODER CALOR. SUP.	(Mcal/t)	3292.6570
32	TEMP. AGUA ALIM.	(°C)	145.0000
Fixo	TEMP. PURGAS	(°C)	279.0000
Fixo	TEMP. CONDENSADO PRE-AR	(°C)	110.0000
29	TEMP. GASES SAIDA	(°C)	162.0000
Fixo	TEMP. FUNDIDOS	(°C)	900.0000
Fixo	TEMP. VAPOR PRE-AR	(°C)	194.0000
Fixo	TEMP. AR ENTRADA	(°C)	25.0000
119	CALOR ESPEC. LÍQUID.	(Mcal/°Ct)	0.7459
Fixo	ENTALPIA VAPOR SAT.	(Mcal/h)	666.0000
Fixo	ENTALPIA VAPOR SUPER	(Mcal/h)	788.0000
Fixo	ENTALPIA FUSADO FUNDIDO	(Mcal/h)	34.0000
Fixo	ENTALPIA VAPOR. ÁGUA	(Mcal/h)	586.0000

DADOS DE SAIDA

126	HS PURGAS	(Mcal/h)	689.4580
127	HS CONDENSAO	(Mcal/h)	1153.3500
128	HS VAPOR PRODUZIDO	(Mcal/h)	1274.68.0000
129	HS OXIGENIO GASES	(Mcal/h)	737.7434
130	HS NITROGENIO GASES	(Mcal/h)	9622.7224
131	HS SO2 GASES	(Mcal/h)	48.1224
132	HS CO2 GASES	(Mcal/h)	2111.3914
133	HS ÁGUA NO LICOR	(Mcal/h)	30777.8212
134	HS ÁGUA NA COMBUSTAO	(Mcal/h)	11645.5685
135	HS ÁGUA SOPRADORES	(Mcal/h)	11048.3000
136	HS VAPOR D'ÁGUA NO AR	(Mcal/h)	286.6969
137	HS FUNDIDOS	(Mcal/h)	8997.5421

TOTALIS

SOMATÓRIO ENTRADAS	(Mcal/h)	211970.1597
SOMATÓRIO SAIDAS	(Mcal/h)	204606.7362
PERDA TERMICA	(%)	3.4738
EFICIENCIA TÉRMICA	(%)	60.1443
t VAPOR PROD./t SOL. SECOS	(%)	3.4682
t VAPOR PROD./t ÁGUA ALIM.	(%)	0.9953

4. Considerações finais

A otimização de um processo através da aplicação computadorizada de balanços de calor e massa constitui-se numa ferramenta valiosa na avaliação sistemática do seu desempenho operacional. Além disso, possibilita que um número maior de usuários tenham acesso a informações correntes do processo, bem como identifica variáveis que devam ser controladas com maior rigor para garantia do bom funcionamento do sistema integrado e consequente minimização dos custos operacionais.

Por meio deste trabalho, que representa uma etapa da otimização ora em execução no sistema da caldeira de recuperação Riocell, procurou-se demonstrar a viabilidade e importância técnica de utilização destes procedimentos no que tange à busca de condições ótimas para as variáveis atuantes, auxiliando para manutenção da estabilidade e controle do processo.

Tomando-se como referência a planilha, expressa pelo Quadro VI, onde imprimem-se os resultados inerentes à execução de um balanceamento físico sobre os dados de operação do sistema, pode-se identificar, numa avaliação preliminar, a atuação de certos parâmetros tais como: fluxo de sólidos secos alimentados, teor de inorgânicos no licor, fluxo de vapor produzido, teor de O₂ e CO₂ nos gases de exaustão, excesso de ar, insuflamento do ar de combustão, vazão de gases secos expelidos, emissões geradas na chaminé, que na análise conjunta, irão prover subsídios ao detalhamento dos fluxos de entradas e saídas atuantes no volume de controle analisado. Esta distribuição serve de suporte principal à projeção da listagem expressa pelo Quadro VII, onde são apresentados os valores inerentes às características térmicas do processo. Neste particular, destacam-se os índices finais de eficiência e perdas térmicas definidos em relação à quantidade total de calor gerado no sistema.

Atualmente, tem-se mantido um rígido controle sobre o desempenho operacional do processo por meio da tiragem diária de balanços de massa e energia. Este procedimento tem auxiliado em muito na detecção de pontos disformes no sistema, fazendo com que fatores como carga de licor alimentado, excesso de ar, distribuição do ar de combustão, emissões aéreas, eficiência térmica e perdas localizadas sejam mantidos em níveis ótimos em relação às condições físico-operacionais do equipamento.

5. Referências bibliográficas

1. CLEMENT, J.L. et alii. B & W kraft recovery unit performance. TAPPI, Atlanta, 46(2):153A-60A, Feb. 1963.
2. GRACE, T.M. Chemical recovery from concentrated liquor. In: HOUGH, Gerald. Chemical recovery in the alkaline pulping process. Atlanta, TAPPI, 1985. Cap.4, p.87-190.
3. INSTITUTO DE PESQUISAS TECNOLÓGICAS DO ESTADO DE SÃO PAULO. IPT. Manual de recomendações para um programa de redução do consumo de energia na indústria de celulose e papel. São Paulo, 1978. V.2, p.IV26-IV53; V.3, p. VI95-VIII8. (Publicação IPT, 1115).
4. JUTILA, E. Optimizing energy in chemical recovery, PMS/CR. TAPPI, Atlanta, 65(1):63-6, Jan. 1982.
5. LAVERY, H.P. et alii. Approach for measuring heat and material balances in recovery furnaces. TAPPI Journal, Atlanta, 67(8):70-2, Aug. 1984. .

6. MEDEIROS, A.S. & FRONZA, I.M. Caldeira de recuperação da Riocell. Balanços de calor e massa. Guaíba, RIOCELL, 1985. 95p. (Relatório Técnico, 6).
7. MEDEIROS, A.S. & ZORNITTA, S. Avaliação do desempenho operacional da caldeira de recuperação Riocell, via balanços de massa e energia (período de 11/03 a 13/04/85). Guaíba, RIOCELL, 1986. 30p. (Relatório Técnico, 41).
8. SHAFFER, M.R. & THOMPSON, L.L. Computers and recovery boilers. TAPPI, Atlanta, 56(7):62-4, July, 1973.
9. VALKAMO, P. & PANTSAR, O. Benefits of recovery boiler computer control seen at 13 mills in Finland. Pulp & Paper, San Francisco, 58(5):95-8, May, 1984.